



# MI

## Metody Identyfikacji

wykład #5-a

1. *Metody częstotliwościowe – pobudzanie sygnałem sinusoidalnym*
2. *Bode, Nyquist, Nichols*
3. *Inne sygnały periodyczne*

# Odpowiedzi częstotliwościowe dla okresowych sygnałów testowych

- Możliwość wyznaczenia odpowiedzi dla pewnych dyskretnych punktów częstotliwości w określonym ich zakresie
  - Pobudzenie sygnałem sinusoidalnym o określonej częstotliwości
- Możliwość wykorzystania innych sygnałów:
  - Fala prostokątna
  - Fala trójkątna
  - Fala trapezowa
- Ręcznie lub komputerowo
  - Analiza korelacyjna
  - Analiza Fourierowska

# Odpowiedzi częstotliwościowe dla okresowych sygnałów testowych

- Funkcja korelacji: możliwość wyznaczenia charakterystyk częstotliwościowych w obecności dużych zakłóceń i szumów
- Uwzględnienie charakterystyki urządzenia wykonawczego – **musi być liniowa**
  - Urządzenie wykonawcze z całkowaniem: użyć pozycjonera (układ regulacji) i sygnał przykładać jako wartość zadaną dla niego.
  - Urządzanie wykonawcze o stałych poziomach – sterowanie trzypoziomowe i fala prostokątna/trapezowa
  - Charakterystyki nieliniowe – sygnały dwupoziomowe – określone punkty pracy



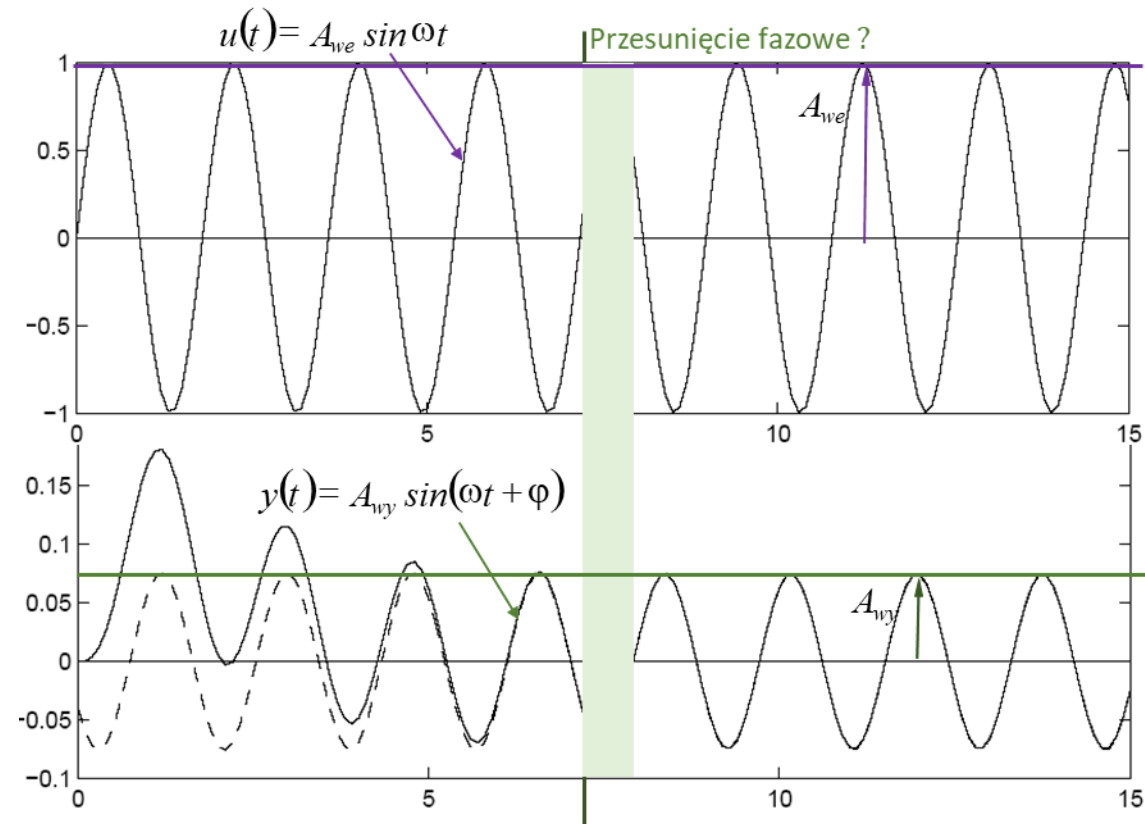
# Pobudzenie sinusoidalne

- Klasyczna metoda identyfikacji charakterystyk Bodego i Nyquista
  - Moduł  $\rightarrow$  stosunek amplitudy sinusoidy na wyjściu do amplitudy sinusoidy na wejściu

$$|G(j\omega)| = \left| \frac{Y(j\omega)}{X(j\omega)} \right|$$

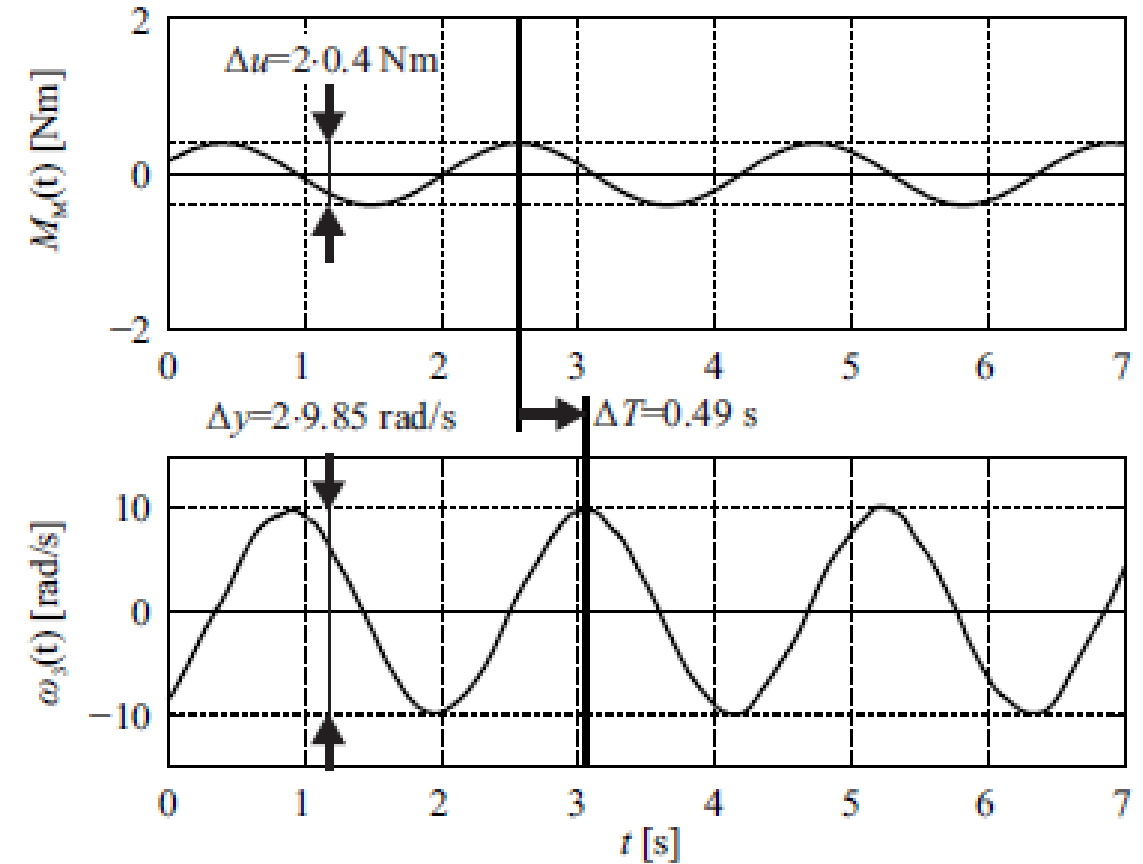
- Faza  $\rightarrow$  przesunięcie fazy pomiędzy sinusoidą na wyjściu do sinusoidy na wejściu

$$\angle G(j\omega) = \angle \frac{Y(j\omega)}{X(j\omega)}$$



# Pobudzenie sinusoidalne

- Przykład oscylatora trzech mas



# Charakterystyki Bodego

- Uogólniona postać transmitancji
- Wpisz tutaj równanie.

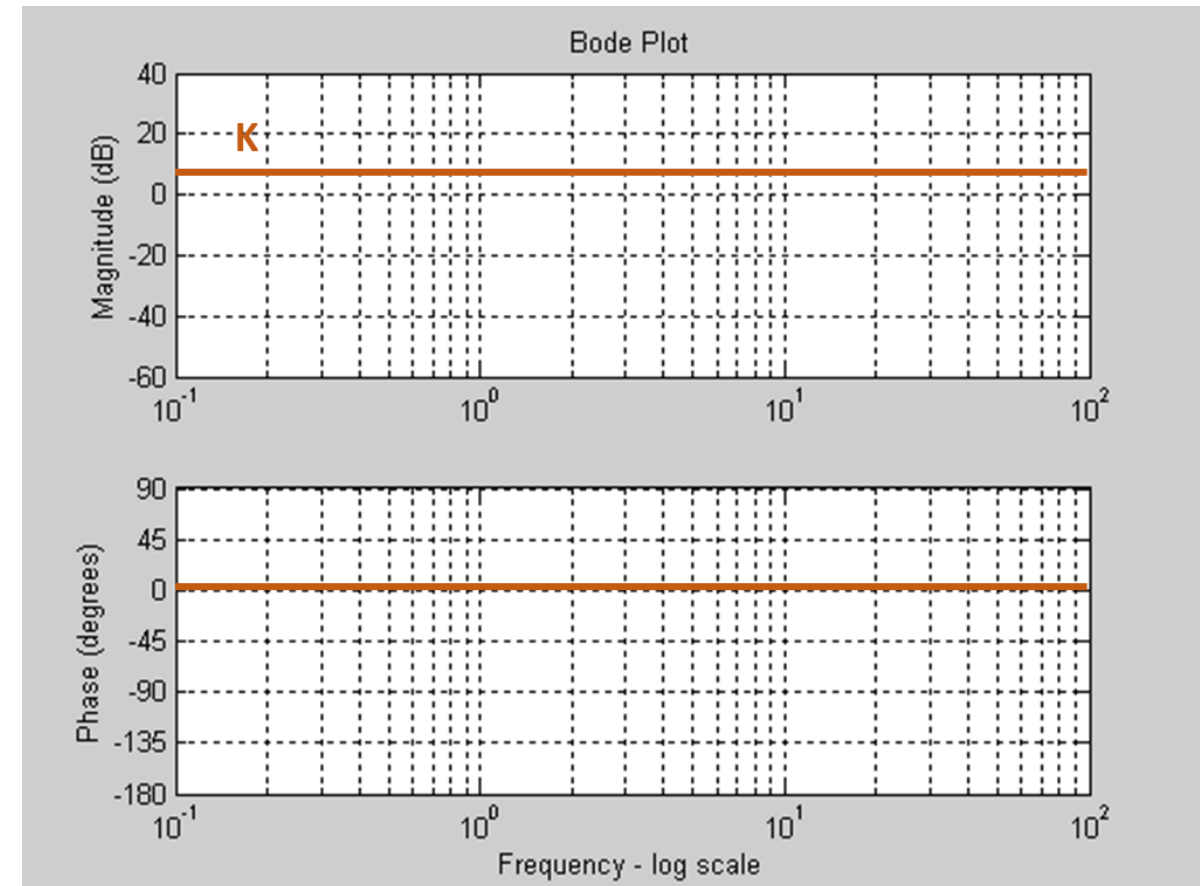
$$G(j\omega) = \frac{K}{(j\omega)^n} \frac{\prod_i^P (1 + j\omega\tau_i) \prod_j^Q (1 + 2\zeta_j\tau_j(j\omega) + (j\omega\tau_j)^2)}{\prod_m^R (1 + j\omega\tau_m) \prod_n^S (1 + 2\zeta_n\tau_n(j\omega) + (j\omega\tau_n)^2)}$$

- Cztery podstawowe elementy:
  - Stałe wzmocnienie K
  - Biegun lub zero na osi ( $j\omega$ ) – całkowanie/różniczkowanie
  - Zero lub biegun na osi rzeczywistej ( $j\omega\tau+1$ ) – moduł jedno-inercyjny w liczniku/mianowniku
  - Zero lub biegun sprzężony  $[1+(2\zeta/\omega n)j\omega+(j\omega/\omega n)^2]$  – moduł oscylacyjny w liczniku/mianowniku
- Charakterystyki Bodego dla tychże elementów



# Wzmocnienie

- K ma stałą charakterystykę amplitudową i fazową
  - Moduł to  $20\log|K|$  [dB]
  - Faza to 0 [rad]



# Biegun lub zero na osi ( $j\omega$ ) – całkowanie/różniczkowanie

- Różniczkowanie

$$G(s) = s$$

$$|G(j\omega)| = \omega$$

$$\varphi(\omega) = +\frac{\pi}{2}$$

- Całkowanie

$$G(s) = \frac{1}{s}$$

$$|G(j\omega)| = \frac{1}{\omega}$$

$$\varphi(\omega) = -\frac{\pi}{2}$$



## Biegun lub zero na osi ( $j\omega$ ) – całkowanie/różniczkowanie

- Moduł transmitancji całkowania

$$20\log \left| \frac{1}{j\omega} \right| = -20\log \omega [dB]$$

- Faza transmitancji całkowania

$$\varphi(\omega) = -90^\circ$$

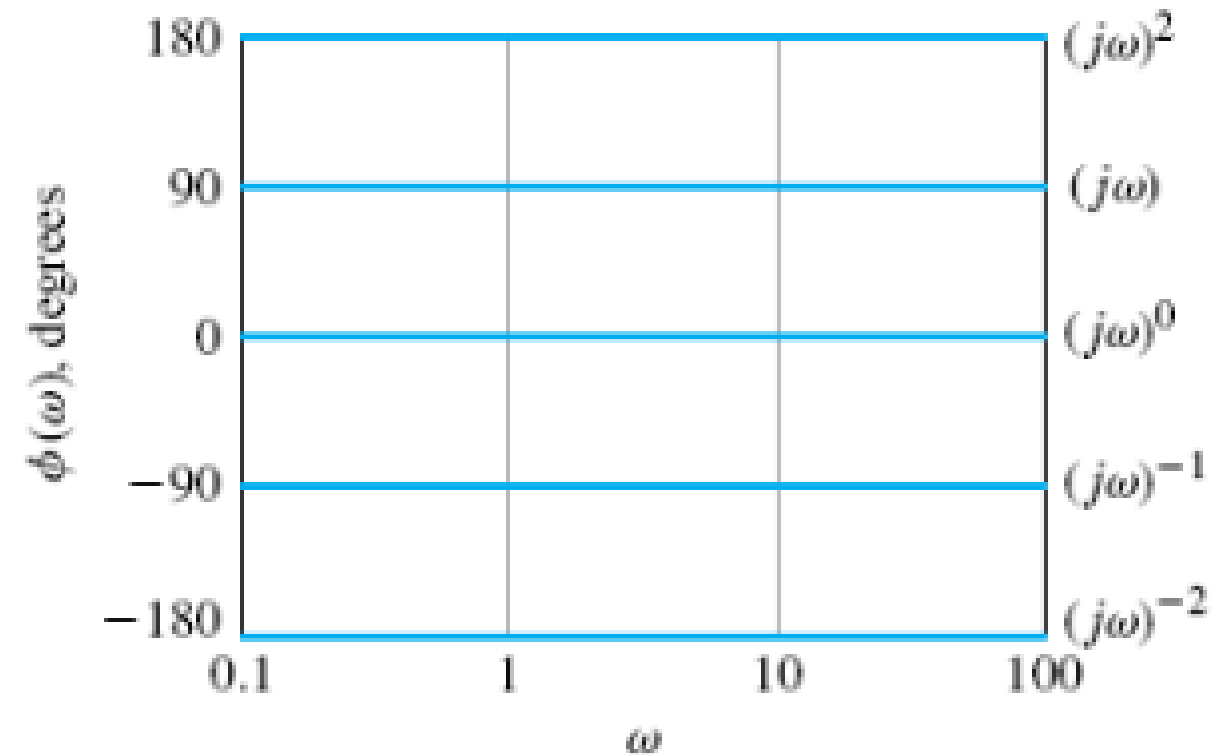
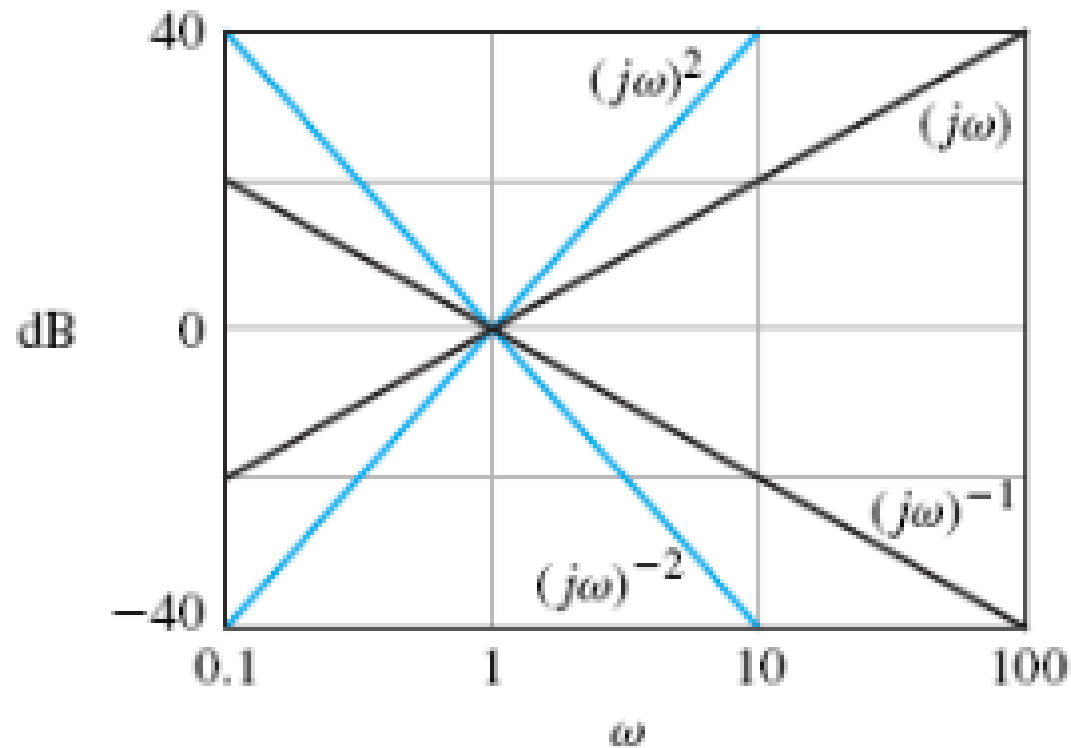
- Nachylenie charakterystyki to -20dB na dekadę dla pojedynczego całkowania
- Dla wielokrotnego całkowania mamy

$$20\log \left| \frac{1}{(j\omega)^N} \right| = -20N\log \omega [dB]$$

- Zaś faza

$$\varphi(\omega) = -N \cdot 90^\circ$$

# Biegun lub zero na osi ( $j\omega$ ) – całkowanie/różniczkowanie



# Biegun/zero rzeczywiste – układ jedno-inercyjny

- Zero

$$G(s) = \tau s + 1$$

- Moduł

$$|G(j\omega)| = \sqrt{\omega^2 \tau^2 + 1}$$

$$\text{dla } \omega \ll 1/\tau \quad |G(j\omega)| \rightarrow 1$$

$$\text{dla } \omega \gg 1/\tau \quad |G(j\omega)| \rightarrow \omega\tau$$

$$\text{dla } \omega = 1/\tau \quad |G(j\omega)| \rightarrow \sqrt{2}$$

- Faza

$$\varphi(\omega) = \tan^{-1} \omega\tau$$

$$\text{dla } \omega \ll 1/\tau \quad \varphi(\omega) \rightarrow 0$$

$$\text{dla } \omega \gg 1/\tau \quad \varphi(\omega) \rightarrow \pi/2$$

$$\text{dla } \omega = 1/\tau \quad \varphi(\omega) = \pi/4$$

- Biegun (moduł inercyjny 1-ego rzędu)

$$G(s) = \frac{1}{\tau s + 1}$$

- Moduł

$$|G(j\omega)| = \frac{1}{\sqrt{\omega^2 \tau^2 + 1}}$$

$$\text{dla } \omega \ll 1/\tau \quad |G(j\omega)| \rightarrow 1$$

$$\text{dla } \omega \gg 1/\tau \quad |G(j\omega)| \rightarrow 1/\omega\tau$$

$$\text{dla } \omega = 1/\tau \quad |G(j\omega)| \rightarrow \sqrt{2}/2$$

- Faza

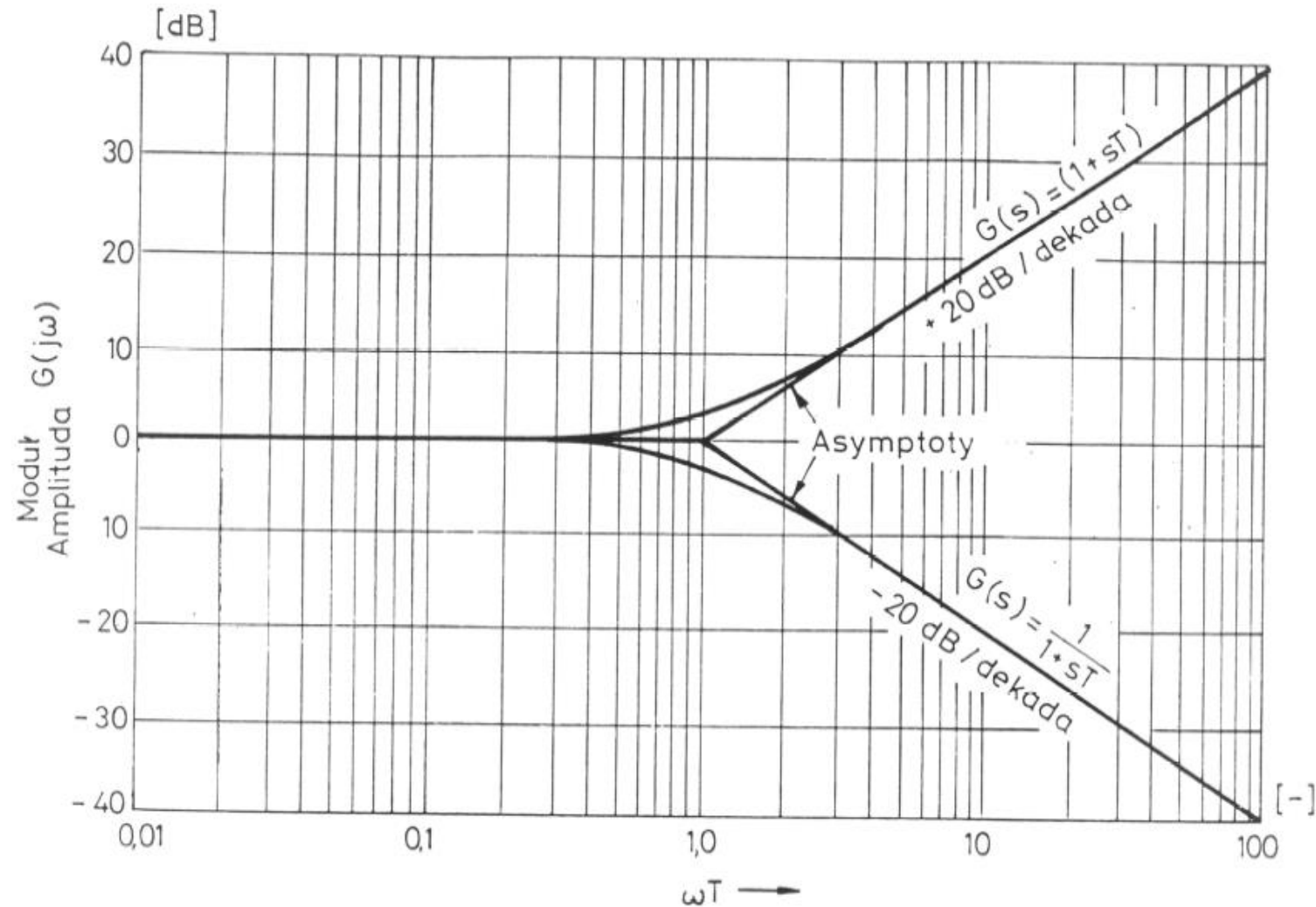
$$\varphi(\omega) = -\tan^{-1} \omega\tau = \tan^{-1} \frac{1}{\omega\tau}$$

$$\text{dla } \omega \ll 1/\tau \quad \varphi(\omega) \rightarrow 0$$

$$\text{dla } \omega \gg 1/\tau \quad \varphi(\omega) \rightarrow -\pi/2$$

$$\text{dla } \omega = 1/\tau \quad \varphi(\omega) = -\pi/4$$

## Biegun/zero rzeczywiste – układ jedno-inercyjny



# Biegun/zero rzeczywiste - właściwości

- Niskie częstotliwości  $\omega \rightarrow 0$ :
  - Moduł  $\approx 1$
  - Faza  $\approx 0$
- Wysokie częstotliwości  $\omega \rightarrow \infty$ :
  - Moduł  $\approx 1/\omega\tau$
  - Faza  $\approx -90^\circ$
  - Nachylenie (w dekadach) -1
- Częstotliwość odcięcia

$$\omega = \omega_b = 1/\tau$$

$$AR_N(\omega = \omega_b) = \frac{1}{\sqrt{1+1}} = 0.707$$

$$\varphi(\omega = \omega_b) = \tan^{-1}(-1) = -45^\circ$$

- **Krok 1.** Znajdź częstotliwość odcięcia  $\omega_b = 1/\tau$ . Moduł dla niej wynosi to 0.707.
- **Krok 2.** narysuj liniową stałą asymptotę ( $=1$ ) dla niższych częstotliwości,  $\omega < \omega_b$ .
- **Krok 3.** Dla wyższych częstotliwości naszkicuj liniową asymptotę o nachyleniu  $n-1$ , z przecięciem w punkcie  $\omega = \omega_b$ .
- **Krok 4.** naszkicuj przebieg rzeczywisty.
- **Krok 5.** Dla  $\omega = \omega_b$ ,  $\varphi = -45^\circ$ . Znajdź ten punkt i narysuj poziome asymptoty dla  $\varphi = 0^\circ$  ( $\omega < 0.1\omega_b$ ) i  $\varphi = -90^\circ$  ( $\omega > 10\omega_b$ ). Narysuj całą charakterystykę.

# Zera/bieguny zespolone

- Transmitancja

$$G(s) = \frac{1}{\tau^2 s^2 + 2\xi\tau s + 1}$$

- Moduł

$$|G(j\omega)| = \frac{1}{\sqrt{(1 - \omega^2\tau^2)^2 + 4\xi^2\omega^2\tau^2}}$$

$$\text{dla } \omega \ll 1/\tau \quad |G(j\omega)| \rightarrow 1$$

$$\text{dla } \omega \gg 1/\tau \quad |G(j\omega)| \rightarrow 1/\omega^2\tau^2$$

- Faza

$$\varphi(\omega) = -\tan^{-1}\left(\frac{2\xi\omega\tau}{1 - \omega^2\tau^2}\right)$$

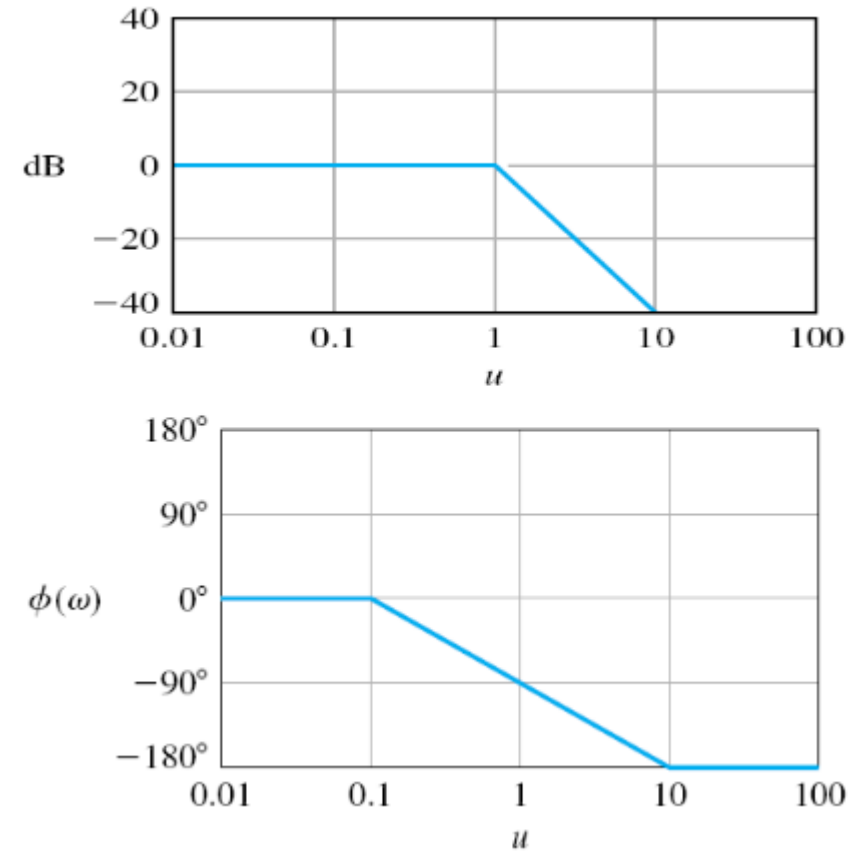
$$\text{dla } \omega \ll 1/\tau \quad \varphi(\omega) \rightarrow 0$$

$$\text{dla } \omega \gg 1/\tau \quad \varphi(\omega) \rightarrow -\pi$$

$$\text{dla } \omega = 1/\tau \quad \varphi(\omega) = -\pi/2$$

## Zera/bieguny zespolone

- Proste charakterystyki asymptotycznej o wartości 0 dB przecinają się dla częstotliwości odcięcia  $\omega_b$ .



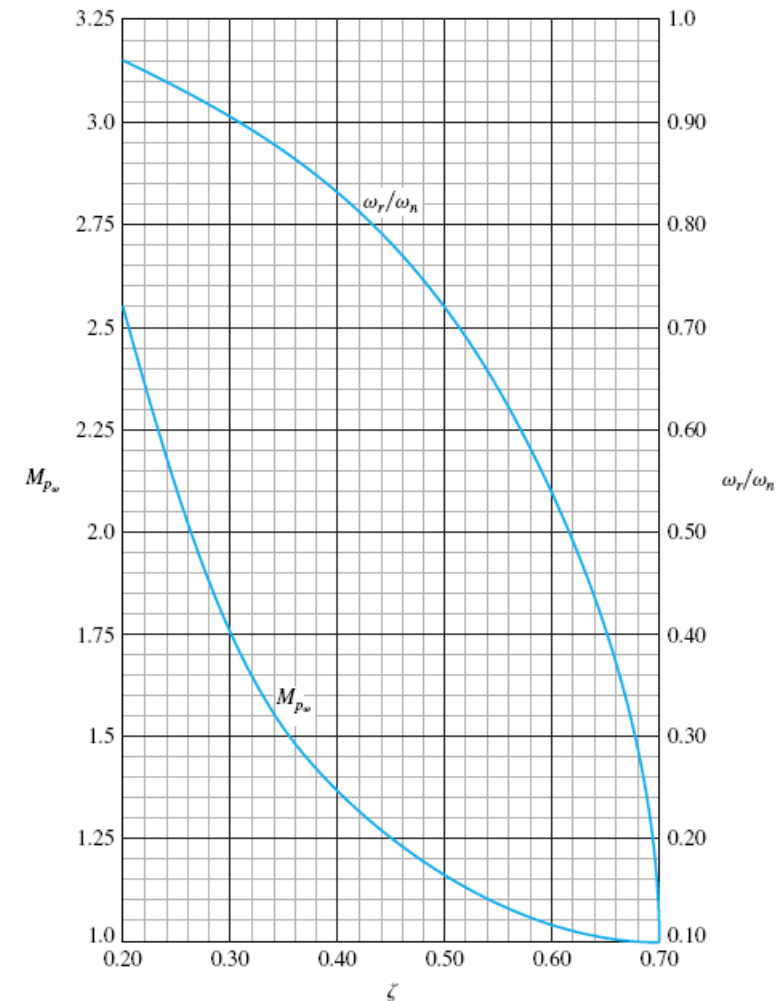
# Zera/bieguny zespolone

- Częstotliwość rezonansową  $\omega_r$  wyznaczamy wyznaczając punkt zerowania pochodnej modułu  $[1 + j2\zeta u - u^2]^{-1}$ , gdzie  $u = \omega/\omega_n$
- Częstotliwość rezonansowa wynosi

$$\omega_r = \omega_n \sqrt{1 - 2\zeta^2}, \zeta < 0.707$$

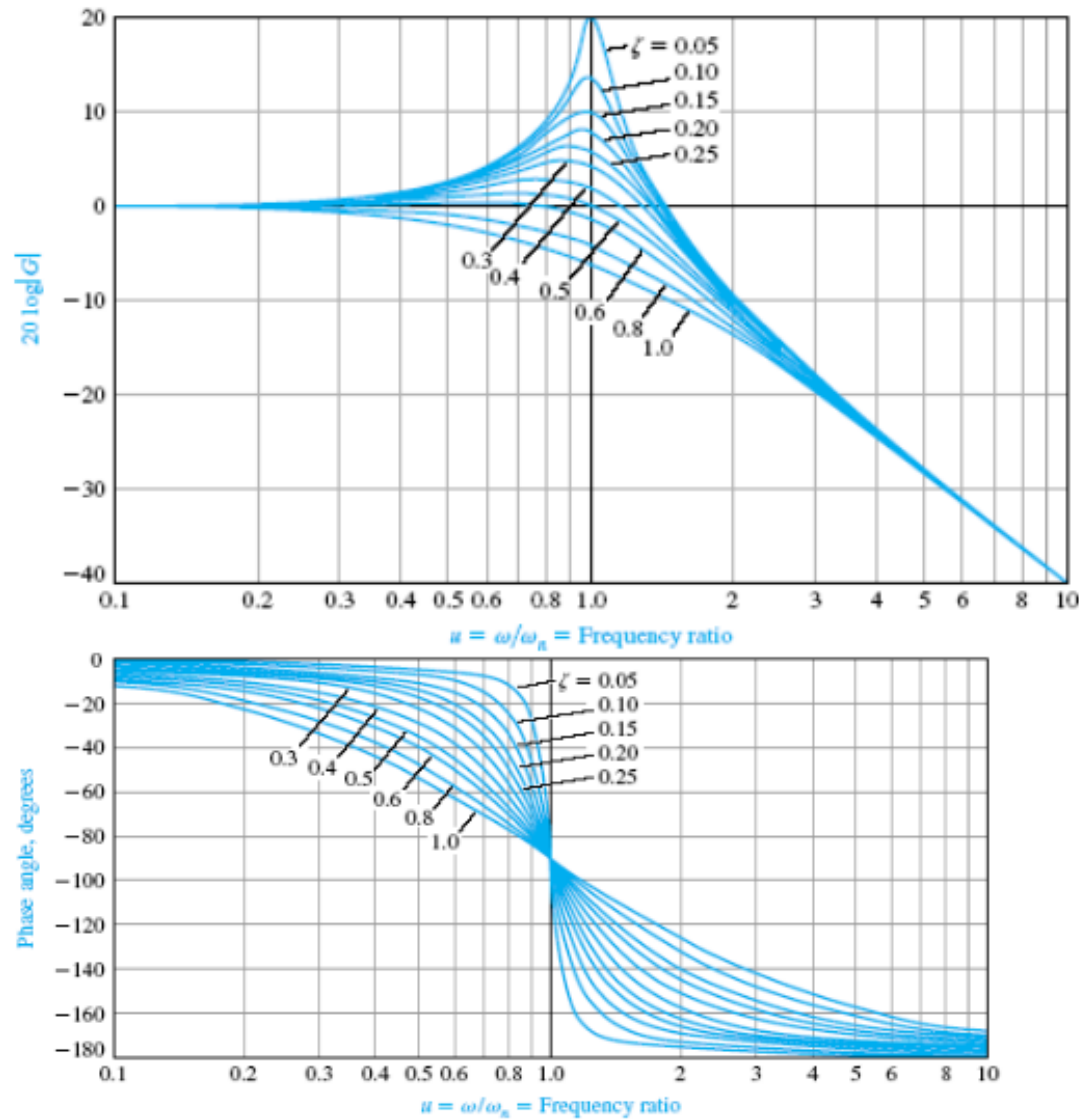
- A maksymalna wartość modułu  $|G(\omega)|$  w tym punkcie to

$$M_{P_\omega} = |G(\omega_r)| = \left( 2\zeta \sqrt{1 - \zeta^2} \right)^{-1}, \zeta < 0.707$$

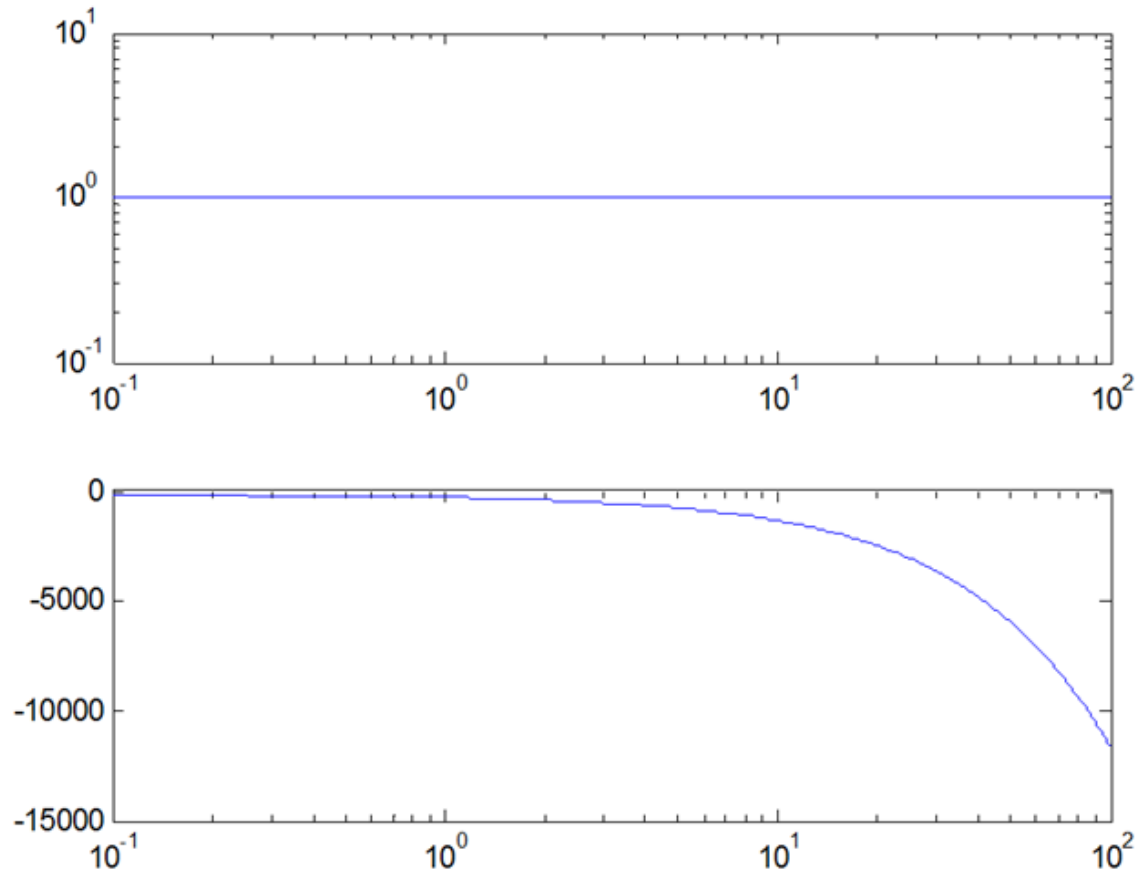




# Zera/bieguny zespolone



# Opóźnienie



- Charakterystyka częstotliwościowa

$$G(j\omega) = \exp(-j\omega\theta) = \cos\omega\theta - j\sin\omega\theta$$

$$\text{moduł} = |G(j\omega)| = \sqrt{\cos^2\omega\theta + \sin^2\omega\theta} = 1$$

$$\varphi = \angle G(j\omega) = \tan^{-1}\left(-\frac{\sin\omega\theta}{\cos\omega\theta}\right), \quad \varphi = -\omega\theta$$

- Nieograniczona faza!



## Zera

- Zero stabilne LHP (lead)

$$G(j\omega) = j\omega T + 1$$
$$|G(j\omega)| = \sqrt{1 + \omega^2 T^2}$$
$$\omega \gg \omega_b |G(j\omega)| \rightarrow \infty$$

- Moduł dla bardzo wysokich częstotliwości ucieka do nieskończoności – fizycznie niemożliwe.
- Dodatnia faza pomiędzy  $0^\circ$  i  $90^\circ$

$$\varphi = \tan^{-1}(\omega T)$$



## Zera

- Zero niestabilne LHP (lag)

$$G(j\omega) = -j\omega T + 1$$
$$|G(j\omega)| = \sqrt{1 + \omega^2 T^2}$$

- Faza ujemna

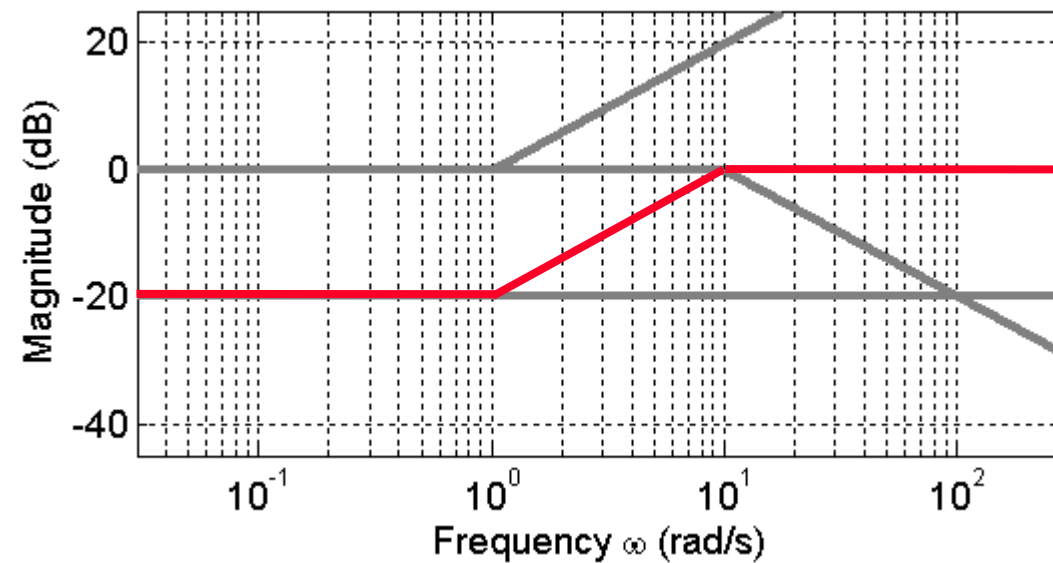
$$\varphi = -\tan^{-1}(\omega T)$$

- Obiekt nie minimalnofazowy – tak samo jest w przypadku opóźnienia

# Rysowanie – przykład

$$G(s) = \frac{s+1}{s+10}$$

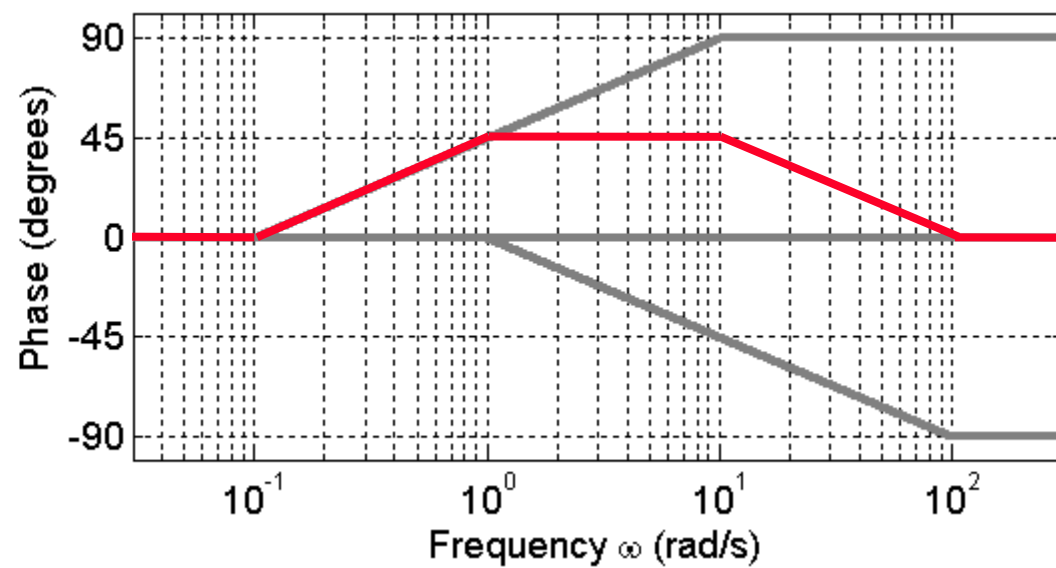
$$= \left[ \frac{1}{10} \right] \left[ \frac{1}{\frac{s}{10} + 1} \right] [s+1]$$



# Rysowanie – przykład

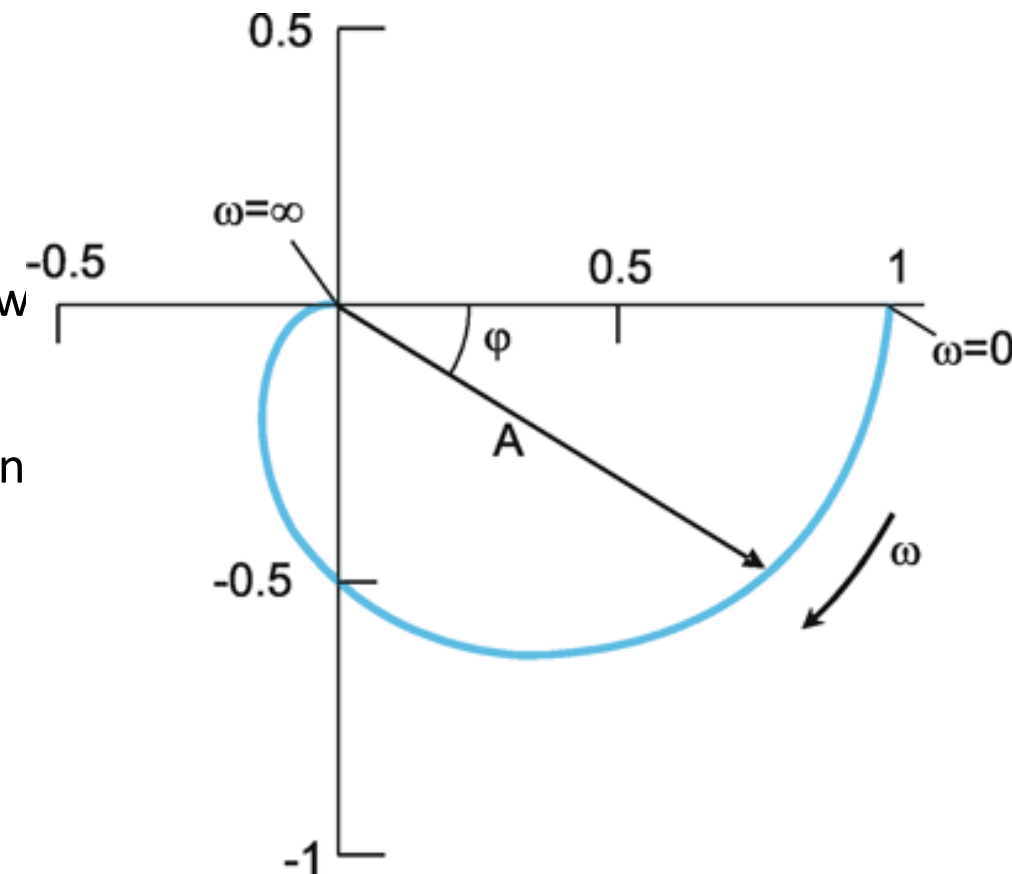
$$G(s) = \frac{s + 1}{s + 10}$$

$$= \left[ \frac{1}{10} \right] \left[ \frac{1}{\frac{s}{10} + 1} \right] [s + 1]$$



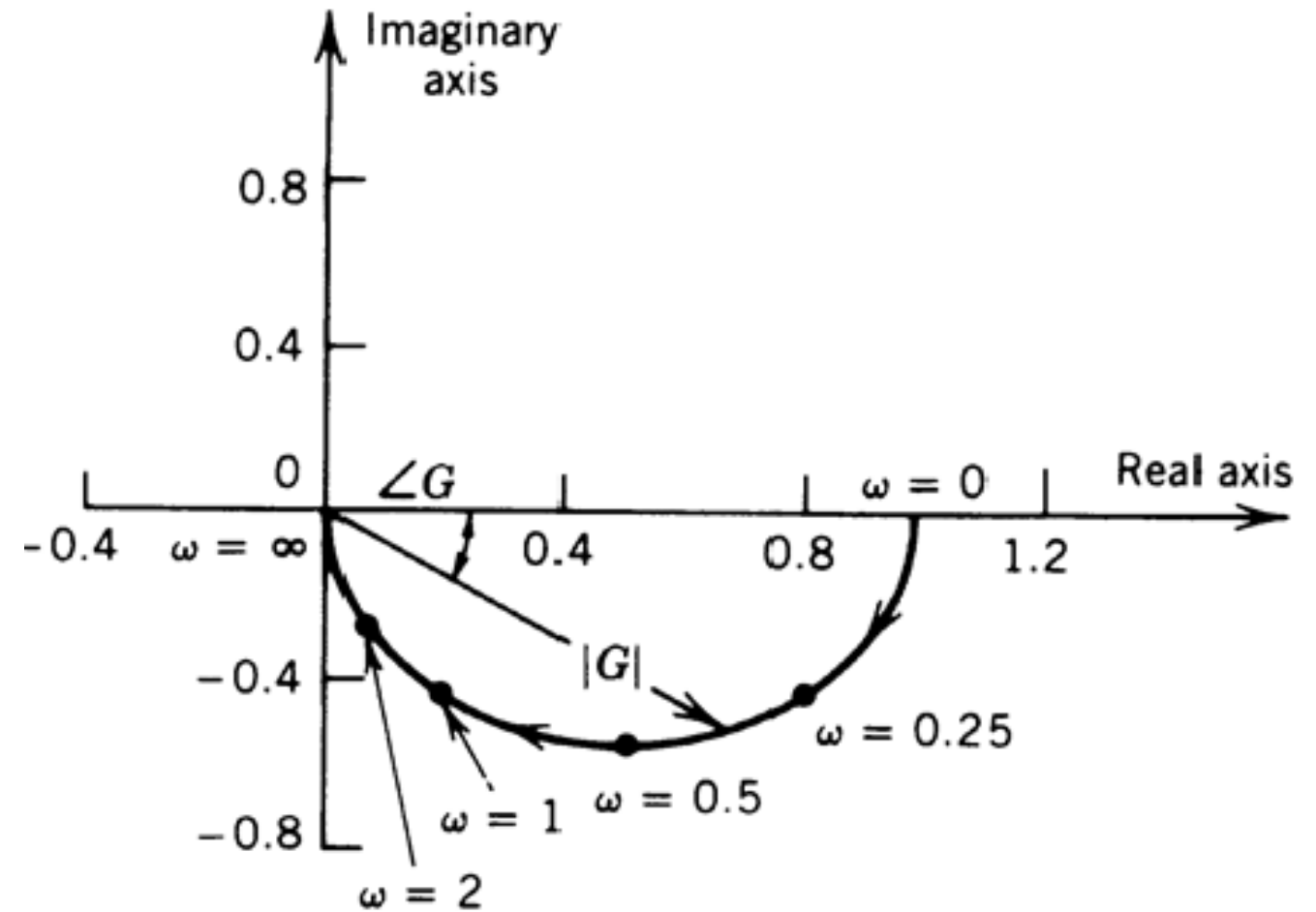
# Charakterystyka Nyquista

- Wykres biegunowy  $G(j\omega)$  w zależności od  $\omega$ .
- Wady
  - Brak bezpośredniej informacji o częstotliwości
  - Trudniejsza w bezpośrednim rysowaniu – najpierw łatwiej w
- Zalety
  - Postać kompaktowa i wystarczająca do dalszych analiz, jak n



## Charakterystyka Nyquista - przykład

- $G(s) = \frac{1}{2s+1}$
- $|G(j\omega)| = \frac{1}{\sqrt{1+4\omega^2}}$
- $\varphi = -\tan^{-1}(2\omega)$





# Pobudzenie falą prostokątną (trapezową)

- Fala prostokątna może zostać opisana za pomocą szeregu Fouriera  $\omega_o = 2\pi/T$

$$u(t) = \frac{4}{\pi} u_0 \left( \sin \omega_0 t + \frac{1}{3} \sin 3\omega_0 t + \frac{1}{5} \sin 5\omega_0 t + \dots \right)$$

- Zaś odpowiedź ma postać

$$y(t) = \frac{4}{\pi} u_0 \left( |G(i\omega_0)| \sin(\omega_0 t + \varphi(\omega_0)) + \frac{1}{3} |G(i3\omega_0)| \sin(3\omega_0 t + \varphi(3\omega_0)) + \frac{1}{5} |G(i5\omega_0)| \sin(5\omega_0 t + \varphi(5\omega_0)) + \dots \right)$$

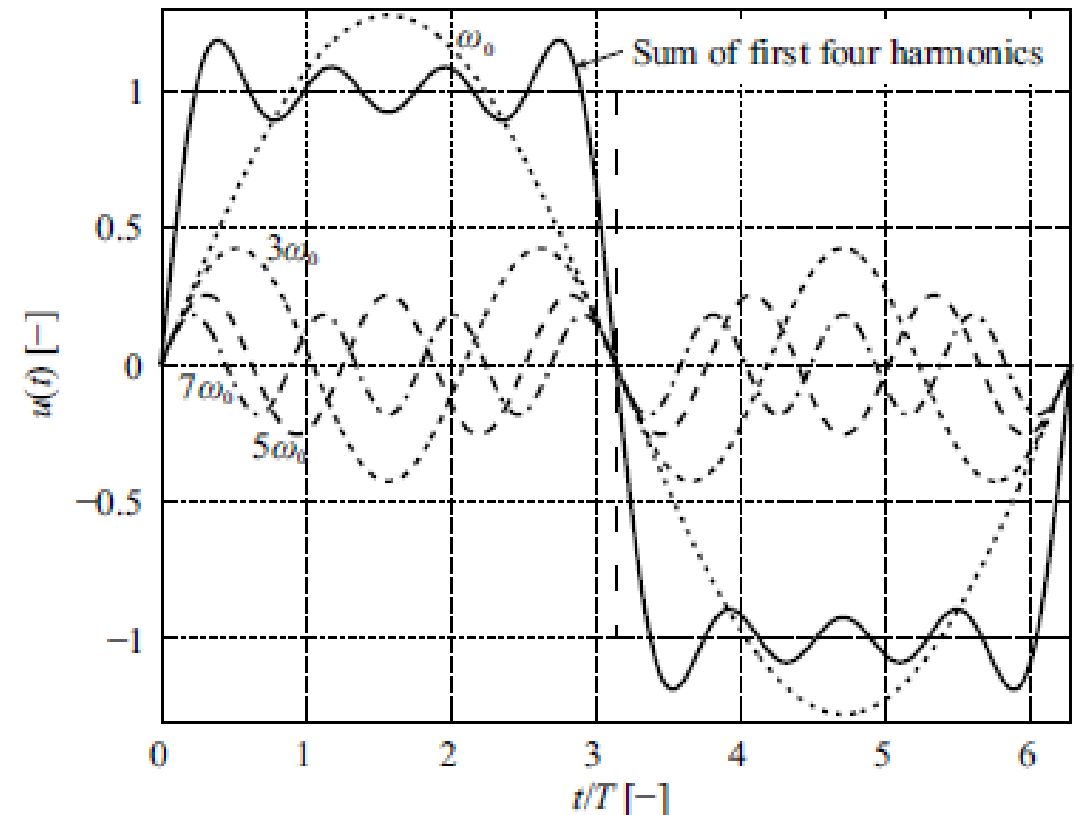
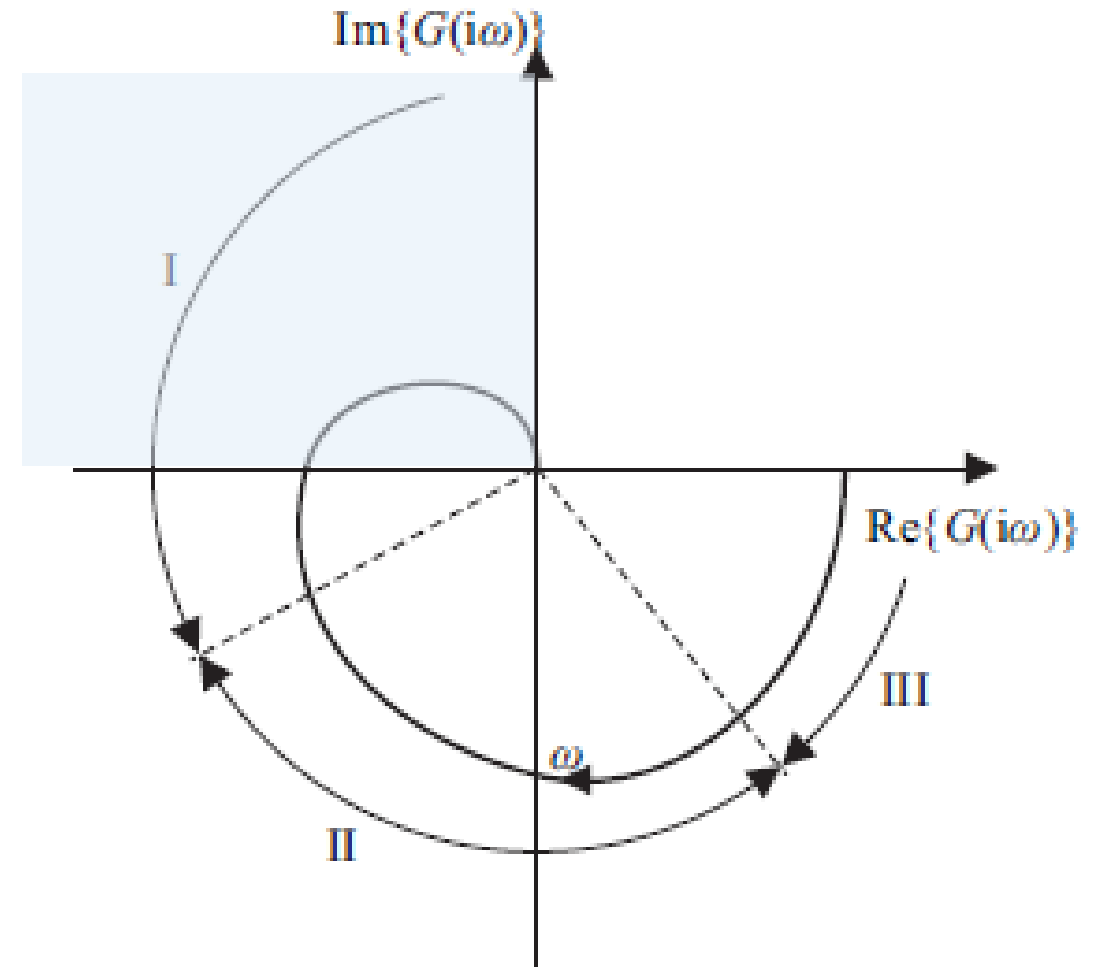


Fig. 5.3. Harmonic decomposition of a rectangular wave

## Pobudzenie falą prostokątną (trapezową)

- Zaczynamy od zakresu wyższych częstotliwości
- Wyższe harmoniczne  $n \geq 3$  są tłumione tak mocno, że odpowiedź odpowiada prawie że *czystej* sinusoidzie
- Łatwo można odczytać moduł i przesunięcie fazowe odpowiedzi
- Odczytujemy **część I** charakterystyki Nyquista



## Pobudzenie falą prostokątną (trapezową)

- Dla średnich częstotliwości amplituda drugiej harmonicznej dla  $3\omega_0$  osiąga wielkość, która nie może być pominięta

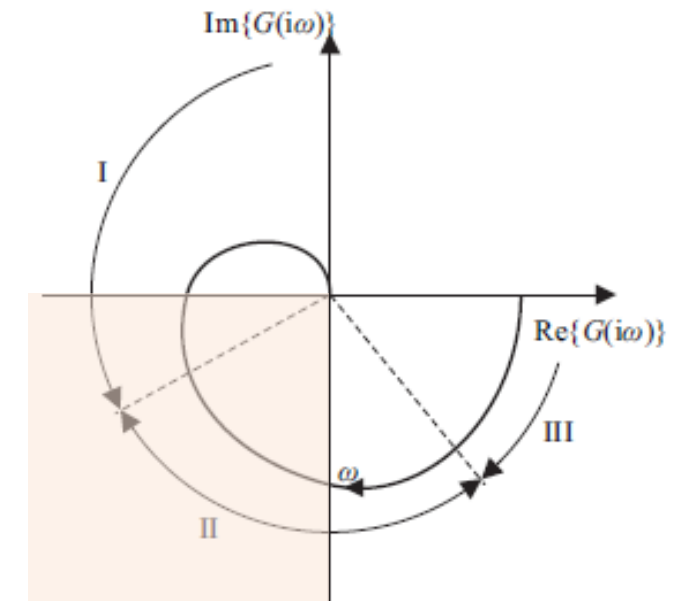
$$y(t) \approx \frac{4}{\pi} u_0 \left( |G(i\omega_0)| \sin(\omega_0 t + \varphi(\omega_0)) + \frac{1}{3} |G(i3\omega_0)| \sin(3\omega_0 t + \varphi(3\omega_0)) \right)$$

- Trzecia harmoniczna  $5\omega_0$  może zostać pominięta tak jak i wyższe. Zatem można otrzymać odpowiedź dla danej częstotliwości odejmując odpowiedź dla drugiej składowej harmonicznej

$$y_{3\omega_0}(t) = \frac{4}{\pi} \frac{1}{3} u_0 |G(i3\omega_0)| \sin(3\omega_0 t + \varphi(3\omega_0))$$

od mierzonego wyjścia  $y(t)$ .

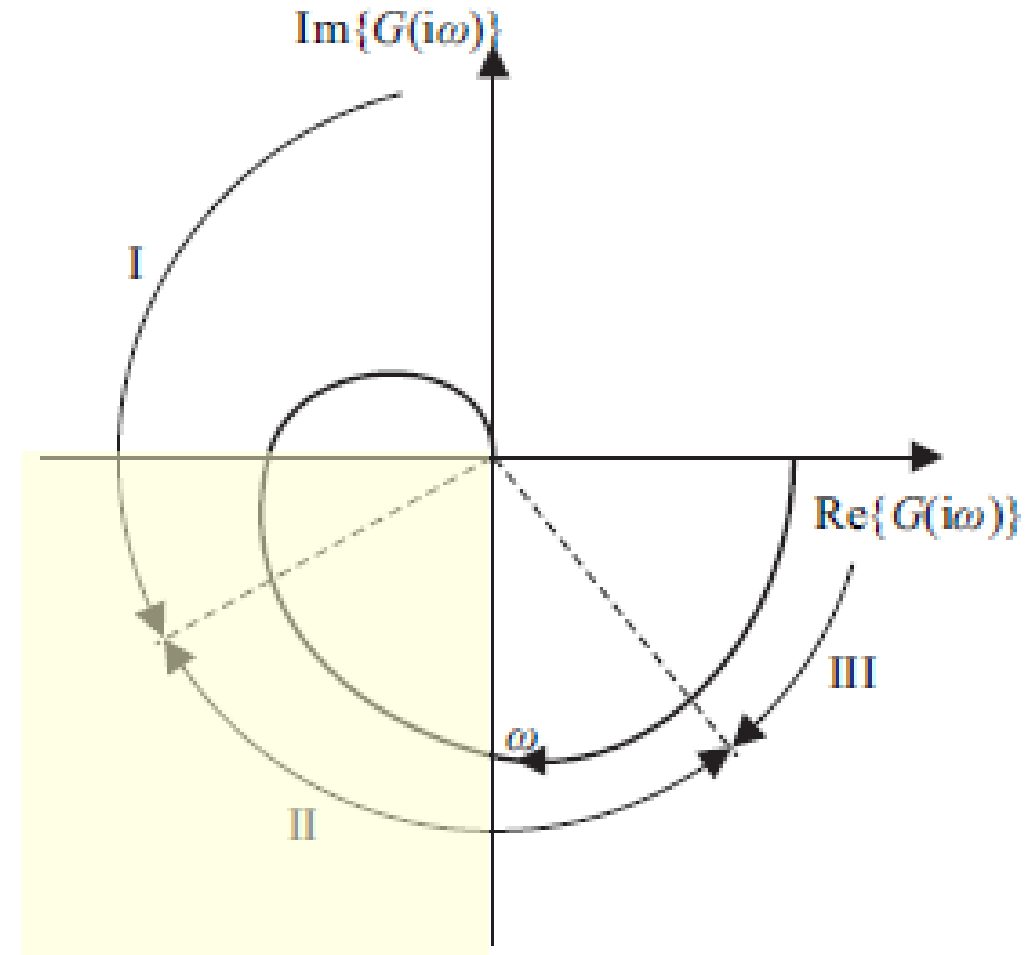
- A odpowiedź  $y_{3\omega_0}$  jest znana z poprzedniego wywodu.
- Tym samym otrzymujemy strefę II.



## Pobudzenie falą prostokątną (trapezową)

- Dla niskich częstotliwości odpowiedź otrzymujemy odejmując tak wiele harmoniczných jak trzeba.

$$\begin{aligned}
 & \frac{4}{\pi} u_0 |G(i\omega_0)| \sin(\omega_0 t + \varphi(\omega_0)) \\
 &= y - u_0 \frac{1}{3} |G(i3\omega_0)| \sin(3\omega_0 t + \varphi(3\omega_0)) \\
 & - u_0 \frac{1}{5} |G(i5\omega_0)| \sin(5\omega_0 t + \varphi(5\omega_0)) - \dots
 \end{aligned}$$



# Pobudzenie falą prostokątną (trapezową)

- Metoda głównie stosowana dla wyższych zakresów częstotliwości
- Podsumowanie:
  - Łatwiej zrealizować fale prostokątną niż sinusoidalną
  - Charakterystyka urządzenia wykonawczego nie musi być liniowa
  - Dla danej amplitudy  $u_o$  fala prostokątna ma najwyższą amplitudę podstawowej harmonicznnej niż dla jakichkolwiek innych pobudzeni okresowych. Zatem najlepszy stosunek do zakłóceń.
  - Ze względu na charakter przekształcenia Fouriera czas przełączenia od  $+u_o$  do  $-u_o$  powinien być nie większy niż:

$$T_1^* < \frac{1.1}{\omega_{\max}} \text{ resp. } T_1^* < \frac{0.5}{\omega_{\max}}$$

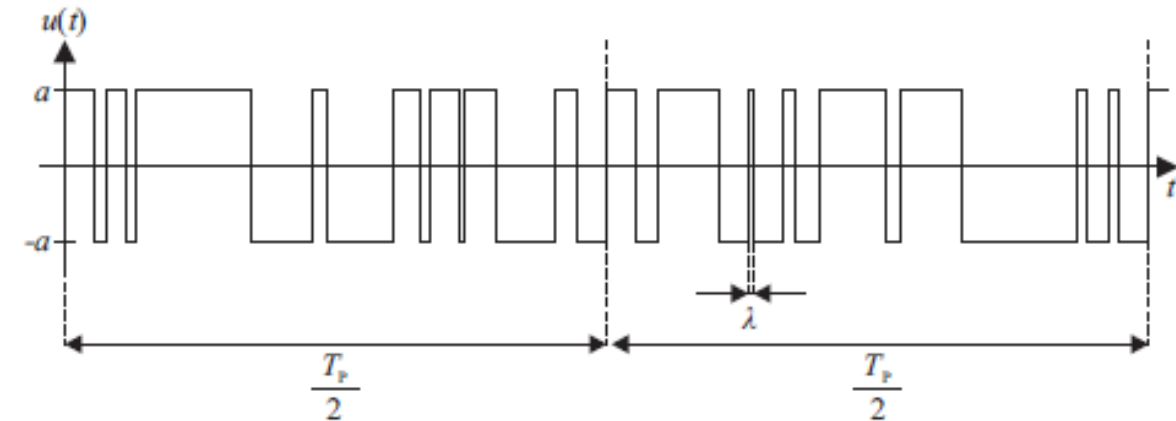
- Gdzie  $\omega_{\max}$  to najwyższa częstotliwość w interesującym zakresie



# Pobudzenie z wieloma harmonicznymi

- Binarny sygnał o wielu częstotliwościach
- Cel: maksymalizacja amplitud dla poszczególnych składowych częstotliwościowych przy minimalizacji amplitudy właściwego pobudzenia

$$\left. \begin{aligned} |G(i\omega_v)| &= \frac{1}{u_{0v}} \sqrt{a_{yv}^2 + b_{yv}^2} \\ \varphi(\omega_v) &= \arctan \frac{a_{yv}}{b_{yv}} \end{aligned} \right\}$$



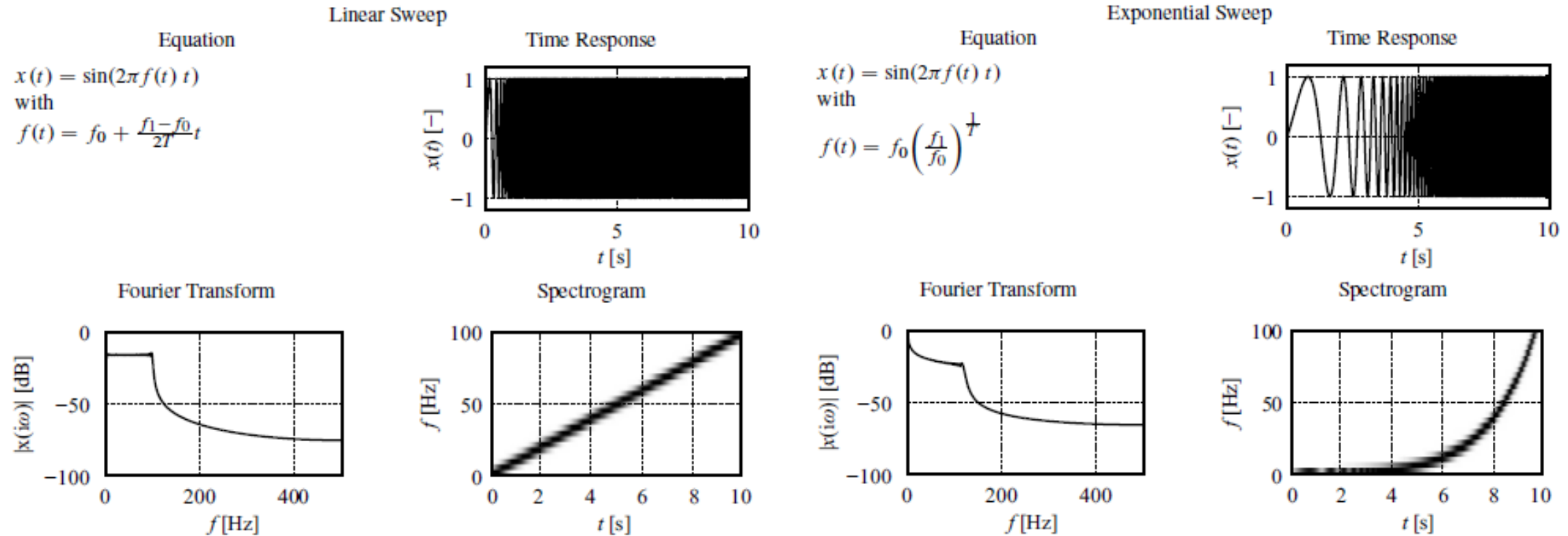
Sześć (6) harmoniczných

$$u_o = 0.585a$$

$$N = 256$$

$$\omega_o, 2\omega_o, 4\omega_o, 8\omega_o, 16\omega_o, 32\omega_o$$

# Sygnały z ciągłą zmianą częstotliwości



Stosowane do analizy w teorii obwodów i identyfikacji sieci (ogólnie telekomunikacja)